

重庆市 A 级旅游景区空间分布及其影响因素研究

刘振振 胡传东^{*1}

(重庆师范大学地理与旅游学院, 重庆 401331)

【摘要】: 研究了重庆市 A 级旅游景区的空间分布特点及其影响因素;基于重庆市 2001—2018 年 A 级旅游景区数据,采用 GIS 的空间分析功能、最邻近点指数分析、核密度强度分析、标准差椭圆分析及 SPSS 相关分析对景区的类别、等级和密度等进行研究;结论认为:2001—2018 年间,重庆旅游景区从分散发展到集聚,分布重心自东北向西南迁移,呈现圈层式扩散态势;从数量上看景区等级偏低,以 2A、3A 和 4A 为主;类别以历史文化和自然风光为主,休闲娱乐类为辅;地形、水系和社会经济共同影响重庆旅游景区的分布;制定了重庆旅游景区空间优化对策:调整地区产业结构,增加第三产业比重;改善交通等基础设施;依托地形和水系等开发景区;以主城区为核心渐进优化重庆旅游景区的空间分布。

【关键词】: 重庆 A 级旅游景区 空间分布 演变规律 影响因素

【中图分类号】: F590 **【文献标志码】:** A **【文章编号】:** 1672-058X(2019)03-0101-10

0 引言

景区是旅游活动开展的基础^[1],是区域旅游产业发展的前提^[2]。作为旅游供给的物质载体,其分布对旅游空间竞争及发展影响深远^[3]。关于此类研究学术界已积累了诸多成果。旅游景区的分布与城市发展和区域经济联系紧密^[4,5]。成渝地区旅游景区具有双核特征且集聚分布两地^[6]。当前学者的研究,在研究方式上多运用定量分析和空间技术分析^[7,8,9],研究角度上主要从空间结构类型、均衡性、密度等方面进行研究^[10,11,12],一些学者针对景区空间结构影响因素从自然和人文两方面做了相关研究^[13,14,15]。但在研究时间尺度上,所选取的时间节点过于单一^[8,9,10,11,12],不能很好地反映空间发展演变状况。

关于重庆市的旅游研究集中在用地、企业、高等级目的地、区域竞争力等方面^[16]。学者多采用数理统计、空间分析等方法对比其他区域来研究重庆的景区发展。当前重庆市旅游资源空间结构的研究存在时空尺度较小,对象太过单一的不足,为了科学合理地发展山地型城市的旅游业,从空间演化的视角出发,采用 2001-2018 年的重庆 A 级旅游景区数据,梳理其分布特点和演化路径,总结影响其发展的积极因素和限制性因素。

1 数据与方法

1.1 研究区概况

重庆位于中国大陆的西南部,紧邻四川、贵州、湖南、湖北和陕西五省,包括 38 个区县,截至 2018 年 7 月,共有 A 级景区 224 个。其中,主城区 69 个,渝西 73 个,渝东北 49 个,渝东南 33 个,占比分别为 30.8%、32.59%、21.88%和 14.73%。重庆 4A 及以上

¹基金项目:国家社会科学基金(10BGL046);重庆师范大学研究生科研创新项目(YKC18033);重庆市教委科研项目(KJ130653)。

作者简介:刘振振(1992—),男,河南灵宝人,硕士研究生,从事旅游规划设计研究。

*通讯作者:胡传东(1973—),男,湖北黄陂人,教授,博士,从事旅游经济管理与旅游规划设计研究。E-mail:hchd85@126.com.

景区共 93 个,其中 5A 级景区 8 个。2001—2008 年,重庆市 A 级景区增长速度相对较缓,2009 年,因为《关于加快旅游业发展的意见》等政策的推动,重庆景区进入迅速发展阶段^[17]。由于研究数据收集的截止时间是 2018-07,因此所有“2018 年”都指的是 2018-07,并非 2018 年全年。

1.2 研究方法

1.2.1 最邻近点指数

最邻近点指数通过将点的随机分布作为标准去比较和测算实际点的分布^[18],等于实际最邻近距离比理论最邻近距离^[19,20,21]。可以测算重庆旅游景区在空间上的分布模式。

测算重庆各景区之间的欧氏距离 R_{ij} ,计算出平均值,可得实际最邻近距离 \bar{R} 。假定重庆市旅游景区随机状态下的理论最邻近距离为 R_E :

$$R_E = \frac{1}{2} \sqrt{S/n}$$

若 S 为重庆市面积, n 表示景区个数。最邻近点指数 Y 可表达为

$$Y = \bar{R}/R_E$$

当 $Y=1$ 时,旅游景区点的分布为随机分布;当 $Y<1$ 时,旅游景区点的分布趋于集聚分布;当 $Y>1$ 时,旅游景区点的分布趋于均匀分布。

1.2.2 核密度分析

核密度分析可以反映区域旅游要素在空间层面的集聚和分散特征以及这种形态的变化^[22,23]。计算公式为

$$\lambda \hat{d}(a) = \sum_{i=1}^n \frac{3}{\pi d^4} \left[1 - \frac{(a - a_i)^2}{d^2} \right]^2$$

式中, a 表示待计算区域景区的位置; a_i 为落在以 a 为圆心的地区旅游景区; d 指一定空间里第 i 个景区的位置。

1.2.3 标准差椭圆分析

标准差椭圆可用来分析重庆旅游景区的总体特征和景区分布重心的迁移和变化趋势^[24]。其表达式为

$$E_x = \sqrt{\frac{\sum_{i=1}^n (x_i - \bar{X})^2}{n}}, E_y = \sqrt{\frac{\sum_{i=1}^n (y_i - \bar{Y})^2}{n}}$$

$$\tan\theta = \frac{(\sum_{i=1}^n a_i^2 - \sum_{i=1}^n b_i^2) + \sqrt{(\sum_{i=1}^n a_i^2 - \sum_{i=1}^n b_i^2)^2 + 4(\sum_{i=1}^n a_i b_i)^2}}{2 \sum_{i=1}^n a_i b_i}$$

其中, E_x 和 E_y 分别指椭圆的短轴和长轴; x_i 和 y_i 指旅游景区 i 的坐标; \bar{X} 和 \bar{Y} 指所有旅游景区的平均中心; n 指重庆景区总数; θ 指椭圆的旋转角度; a_i 和 b_i 指景区 i 到平均中心的长短轴方向的距离。椭圆的 Y 轴和 X 轴分别表示景区分布的方向和范围。

1.3 数据来源

数据来源于中华人民共和国文化和旅游部、重庆市旅游政务网公布的重庆市 A 级景区统计资料, 选取 2001—2018 年重庆 A 级景区的统计名录作为样本展开研究。首先, 将数据资料按照序号、景区名称、质量等级、评定年份和所在区县进行归类 and 记录; 其次, 利用 Google Earth 将所有景区进行空间定位, 对其经纬度进行校准并用 Excel 整理成数据库; 最后, 运用 ArcGIS10.2 软件, 在重庆市的基础底图上对所有 A 级旅游景区进行定位。表 1 为重庆各年度 A 级景区新增数量统计。重庆的 A 级景区以 4A、3A 和 2A 为主, 等级结构发展比较合理, 但也存在 2A 和 3A 数量过多、5A 发展迟缓等问题。

1.4 数据分类

立足重庆 A 级景区的具体情况, 在前人研究的基础上, 从旅游产品的角度将景区分为自然观光、历史文化、休闲娱乐、温泉度假、农业旅游、山地度假、乡村度假和工业旅游 8 个类型^[25, 26, 27]。

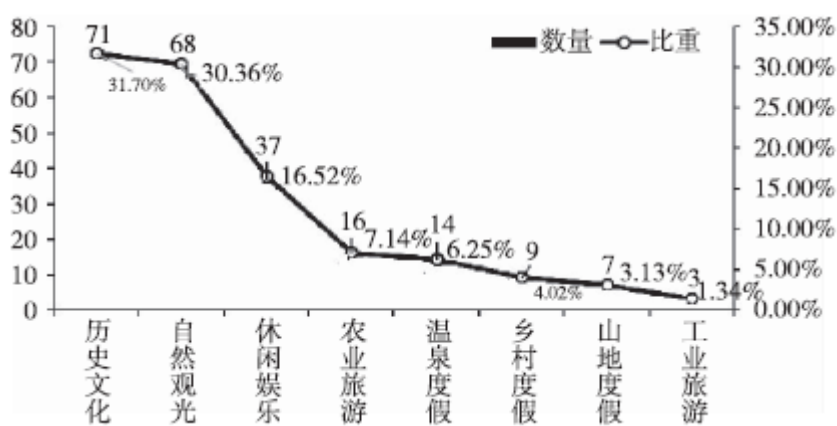


图 1 重庆景区类别统计

由图 1 可知重庆现阶段景区主要是历史文化类、自然观光类和休闲娱乐类, 共 176 个, 占总量的 78.58%, 其中历史文化类的景区最多, 共 71 个, 占总量的 31.7%。工业类、山地度假类和乡村度假类景区数量都在 10 以下, 其中工业类旅游景区仅有 3 个。休闲娱乐类、温泉度假类和农业类的旅游景区共 67 个, 占总数的 29.91%, 尽管资源品质高, 但数量相对较少, 因此发展空间巨大。总体

上看,重庆市景区发展日益多元化,但度假产品仍显不足。

2 结果分析

2.1 空间分布特征

结合地理和历史双重因素,将重庆市划分为渝西、主城区、渝东南和渝东北四大区域。

由图 2 和图 3 可得,重庆各区县 A 级景区的类别、总量与等级差异较大。渝东北和渝西两地景区类别较为丰富,尤以綦江和开州两区种类最多。数量上,以渝中、江津、铜梁、綦江和万州五区居多。重庆高级别景区主要分布在主城区和渝东南。4A 级以上景区数量以渝中区为首,3A 级以下景区以铜梁、江津、綦江和万州 4 区较多。在类别和等级上,主城和渝西地区景区结构相对合理,渝东南与渝东北则相对滞后,发展潜力巨大。

2.1.1 主城区景区多而不精,类别相对丰富

主城区共 69 个旅游景区,有除山地度假之外有 7 个类别,其中历史文化和休闲娱乐各 19 个,此两类景区最多;自然观光和温泉度假类次之;其他类别的景区相对较少。等级上以 4A 为主,无 5A 级景区(图 2a、图 3a)。

2.1.2 渝西旅游景区数量多、等级高且类别丰富

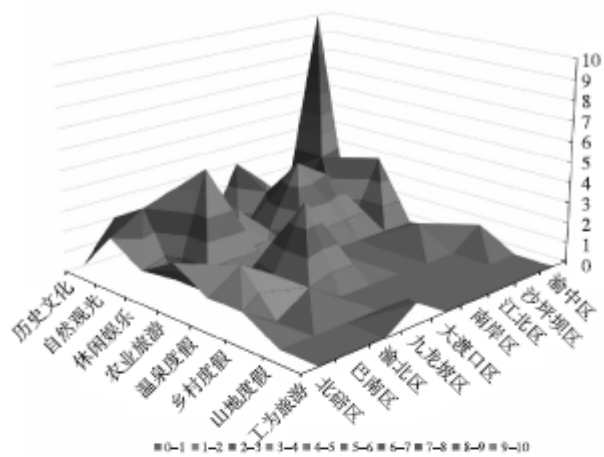
渝西地区共 73 个旅游景区,8 个类别,其中历史文化有 30 个,占比最大;自然观光和休闲娱乐类次之;其余类别的景区数量较少。等级以 5A 和 3A 为主,无 1A(图 2b、图 3b)。

2.1.3 渝东北旅游景区等级低但类别丰富

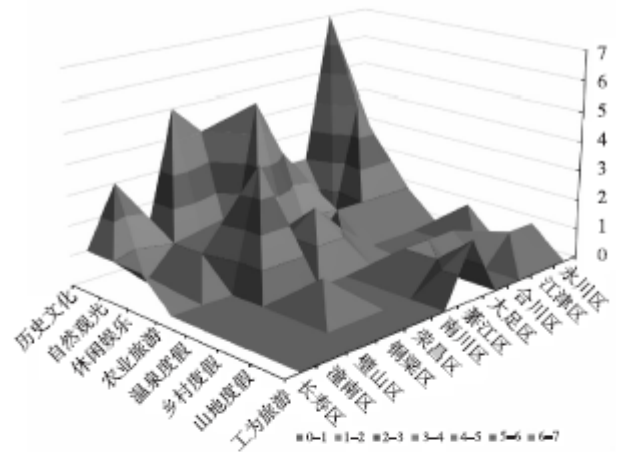
渝东北共 49 个景区,除工业类旅游景区外共 7 个类别,其中自然观光类景区有 24 个,数量最多;历史文化次之;农业旅游和休闲娱乐相对较多;其余类别的景区较少。等级以 2A 最多,3A 和 4A 次之,5A 有 2 个,无 1A(图 2c、图 3c)。

2.1.4 渝东南旅游景区等级低、数量少且类别贫

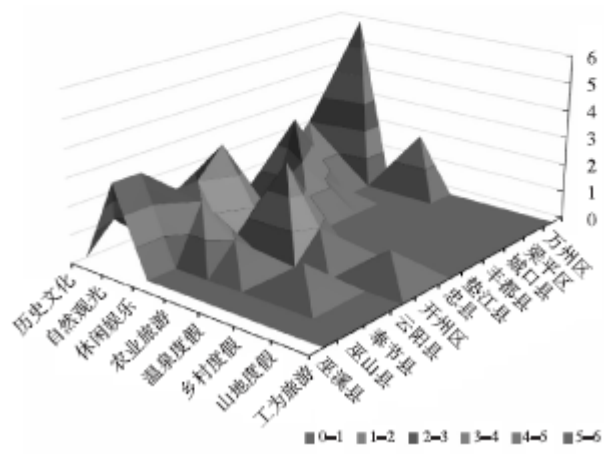
渝东南 33 个景区,共 6 个类别,其中历史文化和自然观光各有 12 个,数量最多;休闲娱乐和山地度假次之;其余类别的景区较少。等级以 4A 最多,2A 和 3A 次之,5A 2 个无 1A(图 2d、图 3d)。



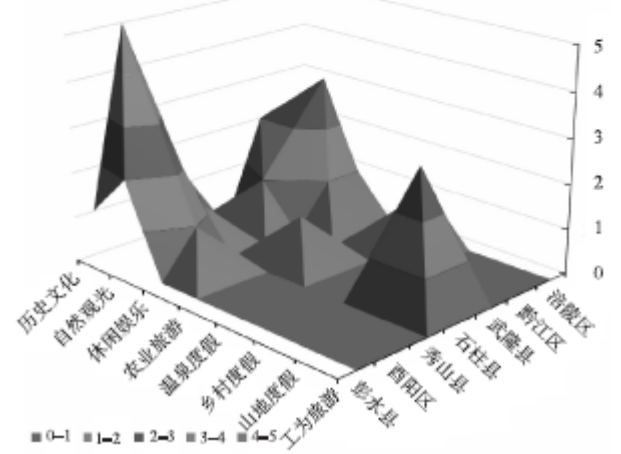
(a) 主城区



(b) 渝西



(c) 渝东北



(d) 渝东南

图2 重庆市四大区域景区类别曲面图

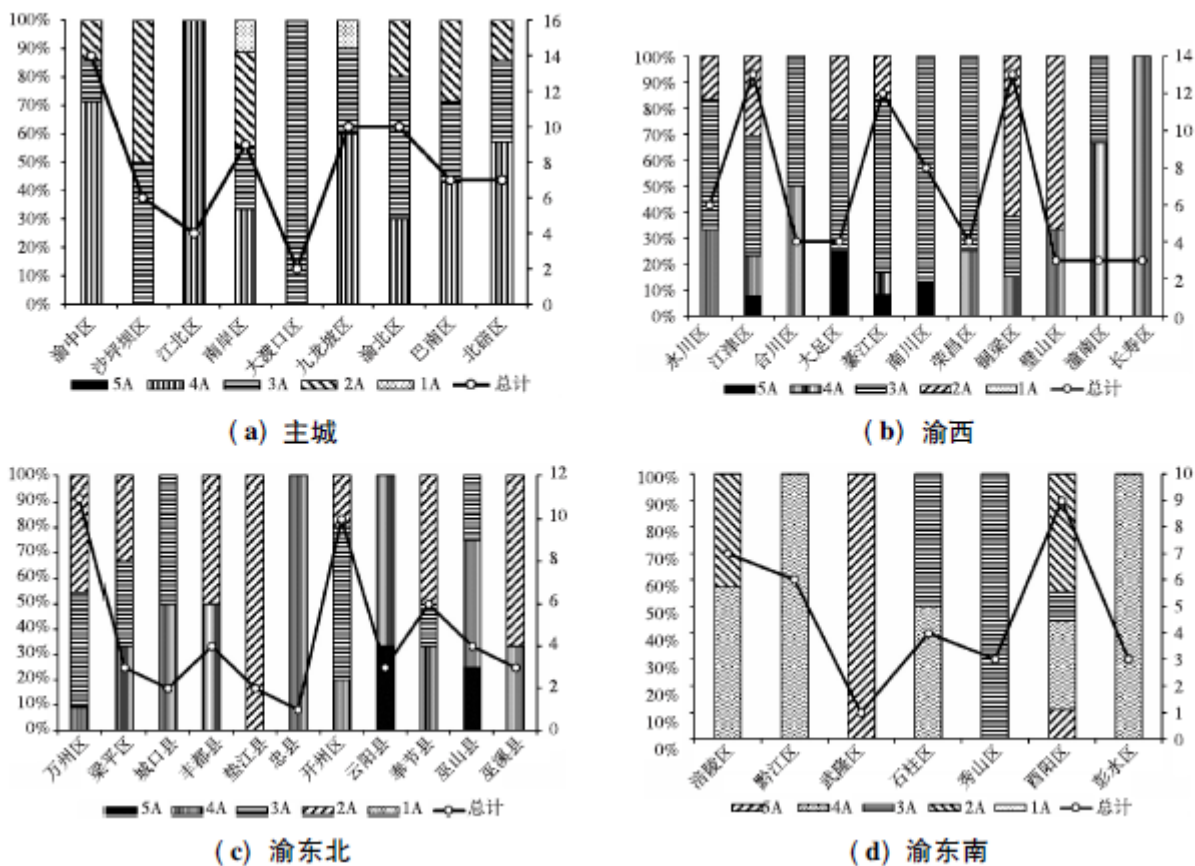


图3 重庆市四大区域景区总量与等级示意图

2.2 空间发展过程

从2001—2018年重庆市A级景区总量变化(图4)可以看出,2011—2011年为缓慢增长阶段,2012—2018年则处于快速增长状态,故研究选取2001、2011及2018年3个典型年份数据进行空间分析。

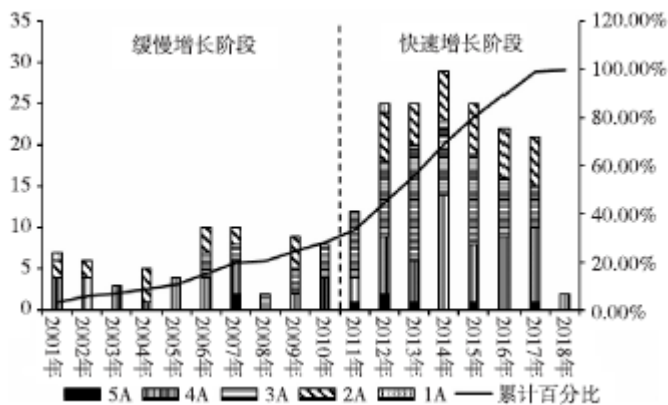


图4 重庆市A级景区总量变化图(2001-2018)

2.2.1 从分散状态发展到集聚状态

利用 ArcGIS10.2 分别计算出 2001 年、2011 年和 2018 年重庆市 A 级景区的整体最临近指数和各区域最邻近指数。2001 年由于 A 级景区才开始评定,故数量极少,在空间形态上呈现分散状态。其余两个时间,最邻近指数在 0.5~0.7 之间,表明重庆市 A 级景区呈现集聚状态。分区来看,重庆各区域 A 级景区由分散状态过渡到随机状态最终呈现集聚状态。至 2018 年渝西的最临近指数相对较小,表明渝西地区 A 级景区的集聚程度较高。

2.2.2 景区呈现圈层式增长

从图 5 可以看出,2001 年,核密度较高的区域主要为主城区和渝东北地区。2011 年,主城区核密度依旧最高,南川区核密度凸显,石柱县和万州区核密度锥形基本显现。2018 年已然形成以主城 9 区为核心的集聚圈,以江津、铜梁、万州、綦江和开州 5 区构成的集聚圈和以黔江、万州、开州、石柱和酉阳 5 区县构成的南北集聚带,整体表现出集聚扩张的圈层式发展态势。总体来看,重庆市 A 级景区由核心集聚发展到团块集聚,且集聚团块分布在主城区、渝西以及渝东北地区,地区分布差异明显。

2.2.3 分布重心由东北向西南迁移

为了直观地表达重庆市 A 级景区的分布和发展方向,研究采用标准差椭圆来分析其方向性差异和演变趋势(图 5)。

2011—2018 年 5A 级旅游景区椭圆,椭圆的 X 轴半径增加 6.51km, Y 轴半径缩小 40.88km,表明 5A 景区沿西北—东南方向扩散,沿东北—西南方向极化。分布平均中心由丰都县境内转移到武隆区境内,旋转角度 8.83° 。4A 级旅游景区椭圆 X 轴增加 52.19km, Y 轴半径减少 19.91km,表明 4A 景区沿西北—东南方向扩散,沿东北—西南方向极化。分布平均中心由忠县境内转移到长寿区和涪陵区境内,旋转角度为 4.01° 。3A 级以下旅游景区的椭圆 X 轴半径增加 85.44km, Y 轴半径减少 36.18km,说明重庆市 3A 级以下景区分布沿东北—西南方向极化,分布平均中心大致由长寿区境内转移到涪陵区境内,旋转角度 1.04° 。

A 级景区的整体水平椭圆 X 轴半径由 23.5km 增至 90.13km; Y 轴半径由 203.41km 缩小为 167.1km;平均中心由忠县迁移至涪陵区。总体来看,重庆 A 级旅游景区的分布范围不断扩大,自东北向西南极化。同时,重庆市 A 级景区椭圆的 Y 轴半径先集聚缩小,后逐渐放大,表明景区分布方向经过快速极化和缓慢扩散的发展态势。由图 4 和图 5 可以看出,2008—2014 年为快速极化时段,增长区域为渝西,主要增长的是 3A、4A 级旅游景区。

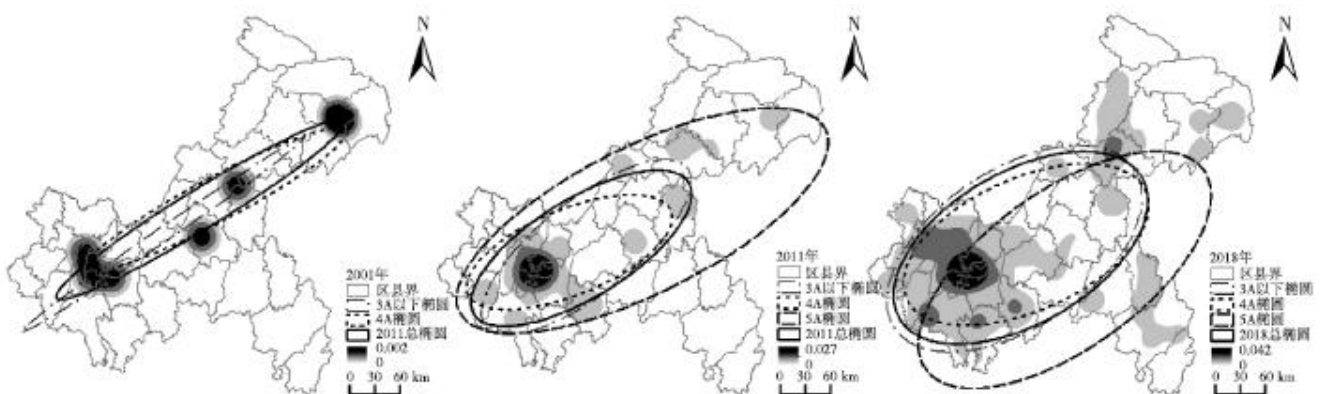


图 5 2001、2011 和 2018 年重庆市 A 级景区密度图及其各等级椭圆分布图

3 影响因素分析

3.1 山城使景区分布呈现“靠山”的特点

地形地貌是旅游景区的骨架,地形的起伏可以增加景观空间层次感,提升美学价值^[28]。海拔高程是量化研究旅游景区的关键指标,景区所处的海拔高程和地形状况可以通过生活和生产方式对区域环境、民俗文化、地形地貌等产生影响。重庆山地面积占比高达70%以上,其地形地貌的起伏会严重影响景观的构造和景区的分布。

为了探究重庆地形地貌与A级景区的分布,研究以海拔高度为标准将重庆市地形地貌划分为三大类:低山、丘陵(<1000m),中山(1000~2000m),高山(>2000m)。通过ArcGIS10.2将重庆市地貌图与A级景区图进行叠加,统计在以上3种地形地貌中景区的等级和个数,得到图6。在低山、丘陵区,共有景区202个,占有所有景区的90.18%。其中5A景区4个,占重庆市全部5A的50%,其余各等级景区占比均在90%以上。落在中山区的有21个,其中有重庆市一半的5A景区。高山区,仅有1个4A级旅游景区。可见,地形地貌对重庆A级旅游景区的分布制约较大。因此在景区开发中要利用好地形和地貌,让其更好地为景区的景观和内涵服务。

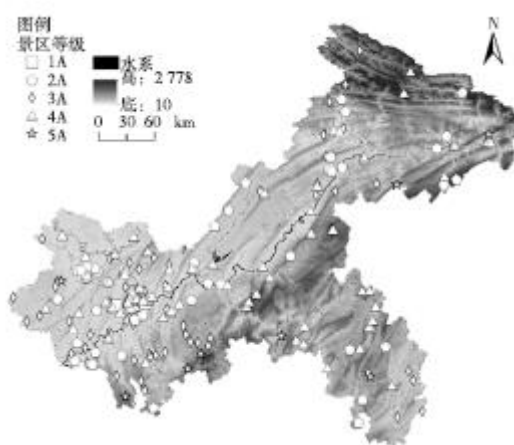


图6 重庆地形地貌与A级景区分布关系

3.2 江城使景区分布表现出“临水”的特点

水体不但本身即可构成景观,而且是景观塑造的重要力量。各种形态的水体形成不同类型的水体景观,通过形、影、声、色、甘、奇等美学功能吸引游客的观赏^[29]。立足重庆河网密集的特点,把重庆市水系图与A级景区分布图进行叠加,沿河流两侧各取5km的缓冲区,统计在缓冲区里景区的数量,得到图7。

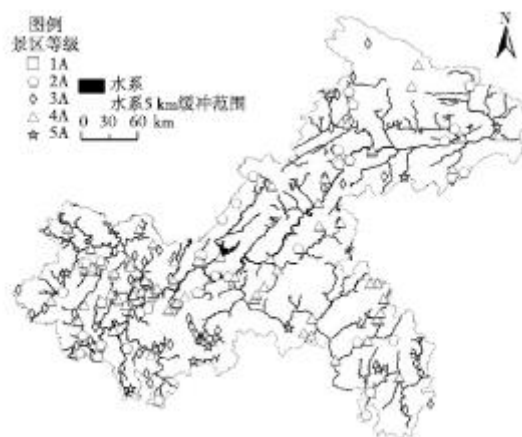


图7 重庆水系与景区分布关系

缓冲区中有景区 169 个, 占有所有景区的 75.45%。其中有 75%的 5A 景区、80%的 4A 景区、72.73%的 3A 景区、73.08%的 2A 景区和 50%的 1A 级旅游景区。可见, 河流对重庆景区的分布有重大影响。因此在 A 级景区的开发过程中要注重利用各种水体的美学功能, 打造精致景区。

3.3 组团式城市使景区分布形成“围城”格局

城市经济是旅游景区发展和演化的动力源泉^[30], 也是景区规划、开发、建设及提升的重要保障^[31]。研究选区 2016 年重庆市各区县的地区生产总值和第三产业生产总值为指标, 利用 SPSS 软件做相关性分析得出: 景区和地区生产总值的 Pearson 相关系数为 0.590**, P 值为 0.000, 显示二者具有显著的正相关; 和第三产业生产总值的 Pearson 相关系数为 0.541**, P 值为 0.000, 显示二者也存在正相关关系。分析表明社会经济的发展与第三产业的增长对景区的发展具有明显促进作用, 因此重庆市要大力发展服务经济, 不断调整优化产业结构。

3.4 交通迅速发展是景区“沿线”分布的重要原因

重庆是重要的交通枢纽城市^[32], 大众旅游时代的到来离不开交通方式的变革和提升^[33]。用 ArcGIS10.2 的缓冲区工具, 沿重庆高速公路、国道、省道、市区主干道建立 5km 的缓冲区, 共 178 个景区落在缓冲区里(图 8), 占景区总数的 79.46%。在缓冲区内, 5A—1A 级景区分别占各等级景区总数的 50%、82.35%、80.52%、76.92%和 100%。以上数据说明重庆在景区的规划和开发的过程中, 要着力提升交通通达度, 改善景区所在地的进入条件, 为地区发展创造机遇。



图8 重庆交通干线与旅游景区分布关系

4 结论及建议

重庆 A 级旅游景区从“多心均衡”分布发展到“一心多片非均衡”分布,历经“分散—集聚”的空间演化过程,主要集聚区在主城和渝西。景区分布重心自东北向西南迁移,呈现出以扩张为主集聚并存的圈层式发展态势。景区等级以 2A、3A 和 4A 为主,等级结构有待优化。重庆市旅游景区以历史文化类和自然观光类为主,休闲娱乐类为辅,农业旅游和温泉度假类相对较多,乡村度假、山地度假和工业旅游类景区发展不充分。重庆旅游景区呈现出“靠山”“临水”“围城”和“沿线”的特征。

在宏观方面,建议从类别和等级方面优化,以主城区为核心,渐进优化重庆的旅游景区结构;加快地区产业转型,提升第三产业比重,为旅游业的发展创造优良的环境和保障;加强建设专项旅游基础设施,提高景区配套设施的完善程度;积极推进景区动态管理,保障游客的最佳体验^[34]。在微观方面,要利用好重庆的特殊地形为景区的开发和建设服务;积极推进低级别景区的升级和高级别景区的发展,推动新景区的开发和老景区的改造升级;强化景区考评,建立健全景区的降级与退出机制;对渝东南和渝东北区县景区进行整合营销,提升区县旅游景区竞争力。

参考文献:

- [1]李天元. 旅游学概论[M]. 第7版. 天津:南开大学出版社, 2003
- [2]王学君. 旅游资源结构分析[J]. 地理学与国土研究, 1993(1):37-39
- [3]汪德根. 呼伦贝尔-阿尔山旅游区旅游资源空间结构研究[J]. 干旱区地理, 2008(3):456-463
- [4]吴必虎, 唐子颖. 旅游吸引物空间结构分析:以中国首批国家4A级旅游区(点)为例[J]. 人文地理, 2003, 18(1):1-5
- [5]马晓龙, 杨新军. 中国4A级旅游区(点):空间特征与产业配置研究[J]. 经济地理, 2003, 23(5):713-716
- [6]齐欣, 王昕. 成渝经济区旅游景区空间结构研究[J]. 地理与地理信息科学, 2013, 29(1):105-110
- [7]孔德林, 乐上泓, 黄远水. GIS辅助下的河南省高端旅游资源点空间分析[J]. 国土与自然资源研究, 2010(1):73-74

-
- [8]谢志华, 吴必虎. 中国资源型景区旅游空间结构研究[J]. 地理科学, 2008, 28(6):748-753
- [9]程海峰, 胡文海. 池州市 A 级旅游景区空间结构[J]. 地理科学, 2014, 34(10):1275-1280
- [10]刘丽梅, 吕君. 内蒙古 A 级旅游景区空间结构研究[J]. 干旱区资源与环境, 2016, 30(11):203-208
- [11]吴清, 李细归, 吴黎, 等. 湖南省 A 级旅游景区分布格局及空间相关性分析[J]. 经济地理, 2017, 37(2):193-200
- [12]申怀飞, 郑敬刚, 唐风沛, 等. 河南省 A 级旅游景区空间分布特征分析[J]. 经济地理, 2013, 33(2):179-183
- [13]赵磊, 丁焯, 杨宏浩. 浙江省旅游景区空间分布差异化研究[J]. 经济地理, 2013, 33(9):177-183
- [14]樊昊, 杨晓霞, 白洋. 我国石窟旅游资源的空间分布特征及影响因素分析[J]. 西南大学学报(自然科学版), 2015, 37(12):98-103
- [15]李玢, 刘家明, 王润, 等. 北京市高尔夫旅游资源空间分布特征及影响因素[J]. 地理研究, 2013, 32(10):1937-1947
- [16]陈晓荣. 重庆市旅游景区用地综合评价研究:以武隆仙女山国家森林公园为例[D]. 重庆:重庆大学, 2012
- [17]党宁, 吴必虎, 俞沁慧. 1970-2015 年上海环城游憩带时空演变与动力机制研究[J]. 旅游学刊, 2017, 32(11):81-94
- [18]吴丽敏, 黄震方, 周玮, 等. 江苏省 A 级旅游景区时空演变特征及其动力机制[J]. 经济地理, 2013(8):158-164
- [19]王洪桥, 孟祥君, 孙浩亮, 等. 吉林省旅游资源的基本特征及空间结构分析[J]. 干旱区资源与环境, 2012(7):190-194
- [20]PEARCE D G, TAN R. The Distribution Mix for Tourism Attractions in Rotorua New Zealand [J]. Hospital Management, 2003(22):17-35
- [21]WANG S X, HE Y Q, WANG X D, et al. Regional Disparity and Convergence of China's Inbound Tourism Economy[J]. Chinese Geographical Science, 2011(6):715-722
- [22]许辉, 杨洁明, 喻晓玲. 新疆优质旅游资源空间格局及影响机制[J]. 地域研究与开发, 2016(1):96-101
- [23]王远飞, 何洪林. 空间数据分析方法[M]. 北京:科学出版社, 2007
- [24]来婷婷, 王乃昂, 高翔, 等. 1990-2011 年沙坡头自然保护区景观变化[J]. 干旱区地理, 2014, 37(1):115-124
- [25]邹统钜. 旅游景区开发与管理[M]. 北京:清华大学出版, 2004
- [26]李庆雷. 旅游策划论[M]. 天津:南开大学出版社, 2009
- [27]吴必虎. 旅游学概论[M]. 北京:中国人民大学出版社, 2013

-
- [28]高润,路紫.河北省太行山区景观地貌与旅游资源分布关系[J].山东师范大学学报(自然科学版),2008,23(4):92-95
- [29]王洪桥,袁家冬,孟祥君.东北地区A级旅游景区空间分布特征及影响因素[J].地理科学,2017,37(6):895-903
- [30]李龙梅.山西省旅游经济发展时空差异与影响因素研究[D].西安:陕西师范大学,2013
- [31]罗赞敏,马耀峰,陈青松.青海省A级旅游景区空间分布特征分析[J].青海民族研究,2015,26(1):58-62
- [32]陈修素,颜冬芹,肖凌志.重庆在长江经济带区位与交通的比较优势[J].重庆工商大学学报(自然科学版),2018,35(3):35-43
- [33]胡传东.旅游:一种进化心理学的解释[J].旅游学刊,2013,28(9):102-103
- [34]纪小美,李灿,付业勤.中国城市入境旅游市场的季节性时空规律分析[J].重庆工商大学学报(社会科学版),2017,34(2):12-20